

## รายการอ้างอิง

1. J.I.Taylor. The Gear Analysis Handbook : A Practical Guide for Solving Vibration Problem in Gear. 1<sup>st</sup> ed. New York: VCI, 2000.
2. McConnell, K. G. Vibration Testing : Theory and Practice. New York: John Wiley & Sons, 1995.
3. Brüel & Kjær. Technical documentation : Multichannel analysis system type 3550 vol.1 guide tours. , 1993.
4. Wowk, V. Machinery Vibration : Measurement and Analysis. New York: McGraw-Hill, 1991.
5. Collacott, R. A. Vibration Monitoring and Diagnosis : Techniques for Cost-Effective Plant Maintenance. 1<sup>st</sup> ed. London: George Godwin, 1979.
6. I.G. Detra Rear Axle Gear Tooth Surface Failure Society of Automotive Engineers, INC., January, 1962
7. Dalpiaz, G., Rivola, A., and Rubini, R. Gear Fault Monitoring: Comparison of Vibration Analysis Techniques. Conference on Acoustical and Vibratory Surveillance Methods and Diagnostic Techniques. Proceedings of the 3rd International (13-15/10/1998),: 623-637.
8. M.J.Brennan, M.H.Chen and A.G.Reynolds. Use of Vibration Measurements to Detect Local Tooth Defects in Gear. Sound and Vibration (Nov/1997).
9. S.Aatola. and R.Leskinen. Cepstrum Analysis Predicts Gearbox Failure. Noise Control Engineering Journal 34 (March-April 1990) : 53-59.
10. McFadden, P. D. Detecting Fatigue Cracks in Gears by Amplitude and Phase Demodulation of The Meshing Vibration. ASME Journal of Vibration 108 (April 1986) : 165-170.
11. R.A.Thompson and Bjorn Weichbrodt. Gear Diagnostics and Wear Detection. ASME Publication. Paper 69-VIBR-10 (1969).
12. สุรศักดิ์ คคมิ. การศึกษาค้นคว้าความสัมพันธ์ระหว่างสัญญาณการสั่นสะเทือนและรอยแตกร้าวบนเฟือง. วิทยานิพนธ์ปริญญาโทมหาบัณฑิต ภาควิชาวิศวกรรมเครื่องกล คณะวิศวกรรมศาสตร์ บัณฑิตวิทยาลัย จุฬาลงกรณ์มหาวิทยาลัย, 2545.

13. กมลวรรณ พงศาพิชญ์. การวิเคราะห์ความสัมพันธ์ระหว่างสัญญาณการสั่นสะเทือนและระดับการสึกหรอของเฟือง. วิทยานิพนธ์ปริญญาโทมหาบัณฑิต ภาควิชาวิศวกรรมเครื่องกล คณะวิศวกรรมศาสตร์ บัณฑิตวิทยาลัย จุฬาลงกรณ์มหาวิทยาลัย, 2544.
14. สมชาย เดโชธรรมสถิต. การศึกษาการวิเคราะห์สัญญาณการสั่นสะเทือนของชุดเฟืองด้วยสเปกตรัมและเซปส์ตรัม. วิทยานิพนธ์ปริญญาโทมหาบัณฑิต ภาควิชาวิศวกรรมเครื่องกล คณะวิศวกรรมศาสตร์ บัณฑิตวิทยาลัย จุฬาลงกรณ์มหาวิทยาลัย, 2540.
15. Salido, J. M. F. Design of a diagnosis system for rotating machinery using fuzzy pattern matching and genetic algorithms. Master's Thesis, Graduate Program in System's Engineering, Kyushu Institute of Technology, 1998.



ศูนย์วิทยทรัพยากร  
จุฬาลงกรณ์มหาวิทยาลัย

## บรรณานุกรม

1. ก่อเกียรติ บุญชูกุล สมศักดิ์ ไชยะภินันท์ และชัยโรจน์ คุณพนิชกิจ. การวิเคราะห์การสั่นสะเทือน : การเฝ้าตรวจและการจัดการการบำรุงรักษา. พิมพ์ครั้งที่ 1. กรุงเทพมหานคร: สมาคมส่งเสริมเทคโนโลยี (ไทย-ญี่ปุ่น), 2540.
2. Goldman, S. Spectrum analysis : A practical approach. 2<sup>nd</sup> ed. New York, NY: M Industrial Press, 1999.
3. Dimarogonas, A. D. and Haddad, S. Vibration for engineers. Englewood Cliffs, NJ: Prentice Hall, 1992.
4. J.A.Pennell. Application Factors. B.G.A. State of The Art Survey No. 004, July 1989.
5. Broch, J. T. Mechanical vibration and shock measurements. 2<sup>nd</sup> ed. Naerum: Brüel & Kjær, 1984.
6. R.B.Randall and J.Hee Cepstrum Analysis Brüel & Kjær Technical Review, No.3, 1981:3-40
7. McFadden, P. D. Detecting the location of a fatigue crack in a gear from the phase of the change in the vibration. Mechanical Systems and Signal Processing 2 (1988) : 403-409.
8. McFadden, P. D. and Smith, J. D. A signal processing technique for detecting local defects in a gear from the signal average of the vibration. Proceedings of the Institution of Mechanical Engineerings 199 (1985) : 287-292.

ศูนย์วิทยทรัพยากร  
จุฬาลงกรณ์มหาวิทยาลัย



ภาคผนวก

ศูนย์วิทยทรัพยากร  
จุฬาลงกรณ์มหาวิทยาลัย

## ภาคผนวก ก

### การแปลงแบบฟูรีเยร์ (Fourier Transform)

ฟูรีเยร์ได้เสนอว่าสัญญาณบนโดเมนเวลาใดๆ ที่มีลักษณะเป็นคาบโดยมีคาบเท่ากับ  $T$  สามารถเขียนแทนได้ในรูปของอนุกรมของฟังก์ชันโคไซน์และฟังก์ชันไซน์ เรียกอนุกรมนี้ว่า อนุกรมฟูรีเยร์ (Fourier Series) เขียนแทนได้ด้วยสมการดังนี้

$$x(t) = \frac{a_0}{2} + \sum_{n=1}^{\infty} \left( a_n \cos \frac{2\pi n t}{T} + b_n \sin \frac{2\pi n t}{T} \right) \quad (ก-1)$$

เรียกสัมประสิทธิ์  $a_n$  และ  $b_n$  ว่าสัมประสิทธิ์ฟูรีเยร์ (Fourier Coefficients)

โดยที่

$$a_0 = \frac{2}{T} \int_0^T x(t) \cdot dt$$
$$a_n = \frac{2}{T} \int_0^T x(t) \cdot \cos(n\omega t) \cdot dt \quad \text{โดยที่ } \omega = \frac{2\pi}{T} \quad (ก-2)$$
$$b_n = \frac{2}{T} \int_0^T x(t) \cdot \sin(n\omega t) \cdot dt$$

เรียกความถี่  $\omega$  นี้ว่า ความถี่รากฐาน (Fundamental Frequency) พจน์อื่น ๆ ของฟังก์ชัน  $x(t)$  ที่มีความถี่เป็นจำนวนเท่าของความถี่นี้เรียกว่า ฮาร์โมนิก (Harmonic) อันดับที่  $n$  เมื่อนำแอมพลิจูดมาแสดงบนโดเมนความถี่จะได้เส้นตรงในแนวตั้งที่แต่ละความถี่ของฮาร์โมนิก

การคำนวณหาค่าสัมประสิทธิ์ฟูรีเยร์โดยเครื่องวิเคราะห์ทำได้ด้วยวิธีการทางตัวเลข โดยการสุ่มตัวอย่างข้อมูลด้วยจำนวนจุดข้อมูล  $N$  จุด ในช่วงคาบเวลา  $T$  แล้วแทนที่การอินทิเกรตด้วยการรวมข้อมูล และแทน  $dt$  ด้วยระยะห่างระหว่างแต่ละจุดข้อมูล  $\Delta t = T/N$  ดังนั้นจึงสามารถเขียนสมการ ก-2 ใหม่ได้ดังนี้

$$a_0 = \frac{2}{N} \sum_{i=1}^N x(t_i)$$
$$a_n = \frac{2}{N} \sum_{i=1}^N x(t_i) \cdot \cos \frac{2\pi n t_i}{T} \quad (ก-3)$$



$$b_n = \frac{2}{N} \sum_{i=1}^N x(t_i) \cdot \sin \frac{2n\pi t_i}{T}$$

อนุกรมฟูรีเยร์สามารถแสดงให้อยู่ในรูปแบบของฟังก์ชันเอกซ์โปเนนเชียลได้เนื่องจาก

$$\cos \omega t = \frac{e^{j\omega t} + e^{-j\omega t}}{2} \quad \text{และ} \quad \sin \omega t = \frac{e^{j\omega t} - e^{-j\omega t}}{2j} \quad (\text{ก-4})$$

เมื่อนำสมการ ก-4 แทนลงในสมการ ก-1 จะสามารถเขียนฟังก์ชัน  $x(t)$  ใหม่ได้ดังนี้

$$\begin{aligned} x(t) &= \frac{a_0}{2} + \frac{1}{2} \sum_{n=1}^{\infty} [a_n (e^{jn\omega t} + e^{-jn\omega t}) - jb_n (e^{jn\omega t} - e^{-jn\omega t})] \\ &= \frac{a_0}{2} + \frac{1}{2} \sum_{n=1}^{\infty} [(a_n - jb_n) e^{jn\omega t} + (a_n + jb_n) e^{-jn\omega t}] \end{aligned} \quad (\text{ก-5})$$

ถ้าให้นิยามสัญลักษณ์ใหม่ดังนี้

$$X_0 = \frac{a_0}{2}, \quad X_n = \frac{1}{2}(a_n - jb_n), \quad X_{-n} = \frac{1}{2}(a_n + jb_n) \quad (\text{ก-6})$$

โดยที่

$$n = 1, 2, 3, \dots$$

เมื่อ  $X_{-n}$  เป็นคอนจูเกตเชิงซ้อน (Complex Conjugate) ของ  $X_n$  สมการ ก-1 สามารถเขียนใหม่ในรูปแบบของอนุกรมฟูรีเยร์เชิงซ้อนได้ดังนี้

$$x(t) = \sum_{n=-\infty}^{\infty} X_n \cdot e^{jn\omega t} \quad (\text{ก-7})$$

เรียก  $X_n$  ว่า สเปกตรัมของฟูรีเยร์ (Fourier Spectrum) และสามารถหาค่าได้โดยอาศัยสมการ ก-2 และ ก-6 ดังนี้

$$\begin{aligned} X_n &= \frac{1}{2}(a_n - jb_n) = \frac{1}{T} \left[ \int_0^T x(t) \cdot \cos(n\omega t) \cdot dt - j \int_0^T x(t) \cdot \sin(n\omega t) \cdot dt \right] \\ &= \frac{1}{T} \int_0^T x(t) \cdot [\cos(n\omega t) - j \sin(n\omega t)] \cdot dt \end{aligned}$$

$$= \frac{1}{T} \int_0^T x(t) \cdot e^{-jn\omega t} dt \quad n = 0, 1, 2, \dots \quad (ก-8)$$

สมการ ก-7 และ ก-8 สามารถนำไปใช้กับสัญญาณแบบคาบได้ แต่ก็ยังสามารถขยายผลการใช้สมการ ก-7 และ ก-8 ไปยังกรณีทั่วๆ ไปได้ โดยให้  $T \rightarrow \infty$  ซึ่งจะทำให้ระยะห่าง  $1/T$  ระหว่างแต่ละฮาร์มอนิกเข้าใกล้ศูนย์ ดังนั้นจะได้สเปกตรัม  $X$  กลายเป็นฟังก์ชันต่อเนื่องที่มีความถี่  $f = \omega/2\pi$  ซึ่งจะทำให้สมการ ก-8 และ ก-7 กลายเป็น

$$X^*(f) = \int_{-\infty}^{\infty} x^*(t) \cdot e^{-j2\pi ft} dt \quad (ก-9)$$

$$x^*(t) = \int_{-\infty}^{\infty} X^*(f) \cdot e^{j2\pi ft} df \quad (ก-10)$$

โดยที่  $X^*(f) = \lim_{T \rightarrow \infty} T \cdot X_n$  และ  $x^*(t) = \lim_{T \rightarrow \infty} \frac{1}{T} x(t)$

เครื่องหมายดอกจันในสมการ ก-9 และ ก-10 สามารถละทิ้งได้ เรียกสมการ ก-9 นี้ว่า การแปลงไปข้างหน้าแบบฟูริเยร์ (Forward Fourier Transform) ในขณะที่เรียกสมการ ก-10 ว่าการแปลงกลับแบบฟูริเยร์ (Inverse Fourier Transform) จะเห็นได้ว่าทั้งสองสมการเกือบจะสมมาตรกัน แตกต่างเพียงเครื่องหมายของฟังก์ชันเอกซโปเนนเชียลเท่านั้น สิ่งที่สำคัญสำหรับความเป็นสมมาตรก็คือเมื่อแปลงสัญญาณในทิศทางหนึ่งจะถูกแปลงด้วยอีกทิศทางหนึ่งเสมอ การแปลงฟูริเยร์แบบอินทิกรัลดังสมการที่ ก-9 และ ก-10

การแปลงฟูริเยร์แบบอินทิกรัลจะต้องเก็บสัญญาณในช่วงอนันต์ ซึ่งการใช้ระเบียบวิธีทางตัวเลขไม่มีทางทำได้จึงแทนช่วงระยะเวลาอนันต์ด้วยช่วงเวลา  $(-T/2, T/2)$  โดยสมมติให้ฟังก์ชันมีลักษณะซ้ำเดิมในช่วงเวลาที่อยู่นอกช่วงคาบเวลานี้ทั้ง 2 ด้าน สัญญาณบนโดเมนเวลาสามารถแสดงได้ด้วยอนุกรมฟูริเยร์เชิงซ้อน การแปลงแบบฟูริเยร์ของฟังก์ชันนี้ทำให้ได้สเปกตรัมแบบไม่ต่อเนื่อง (Discrete Frequency Spectrum) ที่มีจำนวนฮาร์มอนิกของความถี่  $f$  ไม่จำกัดจำนวน

สมการที่ ก-9 และ ก-10 สามารถแปลงให้อยู่ในรูปของฟังก์ชันที่สุ่มตัวอย่างทุก ๆ ช่วงเวลา  $\Delta t$  หรือมีความถี่ในการสุ่มตัวอย่างข้อมูล  $f_s = 1/\Delta t$  ได้ดังในสมการที่ ก-11 และ ก-12

$$X(f) = \sum_{n=-\infty}^{\infty} x(t_n) \cdot e^{-j2\pi ft_n} \quad (ก-11)$$

$$x(t_n) = \frac{1}{f_s} \int_{-f_s/2}^{f_s/2} X(f) \cdot e^{j2\pi f t_n} df \quad (ก-12)$$

เมื่อ  $t_n = n \cdot \Delta t$  คือ เวลา ณ การสุ่มตัวอย่างข้อมูลครั้งที่  $n$

ถ้าในอนุกรมเวลามีการตัดให้เหลือพจน์น้อยลงและทำให้เป็นฟังก์ชันไม่ต่อเนื่อง ฟังก์ชันความถี่จะถูกตัดพจน์ให้น้อยลงด้วยเช่นกัน ทำให้ได้ฟังก์ชันการแปลงฟูริเยร์แบบไม่ต่อเนื่อง (Discrete Fourier Transform , DFT) ดังสมการต่อไปนี้

$$X_k = \frac{1}{N} \sum_{n=0}^{N-1} x_n e^{-j(2\pi kn/N)} \quad (ก-13)$$

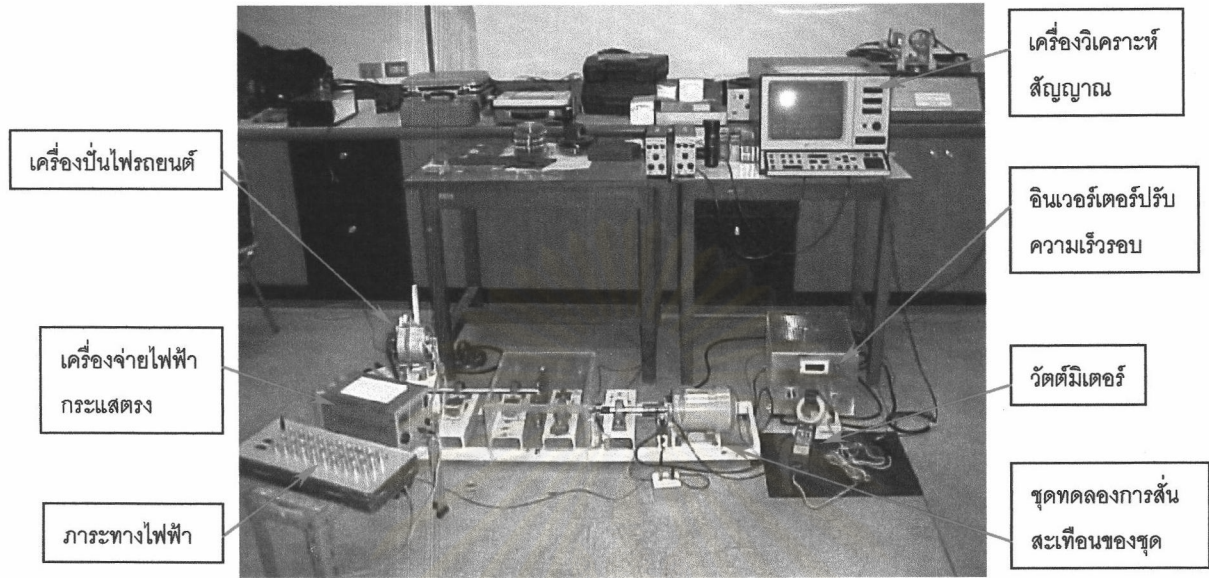
$$x_n = \sum_{k=0}^{N-1} X_k e^{j(2\pi kn/N)} \quad (ก-14)$$

ฟังก์ชัน DFT ในสมการที่ ก-13 และ ก-14 ฟังก์ชัน DFT นี้เหมาะที่จะนำไปใช้กับเครื่องวิเคราะห์สัญญาณแบบดิจิทัล เนื่องจากการหาค่าสเปกตรัมของฟูริเยร์  $X_n$  ทั้ง  $N$  จุดจากตัวอย่างข้อมูลที่สุ่มมาจากสัญญาณบนโดเมนเวลา  $N$  จุด จะต้องมีการคูณเชิงซ้อนถึง  $N^2$  ครั้ง จึงมีการเสนอการแปลงฟูริเยร์แบบเร็ว (Fast Fourier Transform , FFT) ซึ่งจะให้ผลเหมือนกันกับสมการที่ ก-13 แต่จะทำการคูณเชิงซ้อนเพียง  $N \cdot \log_2 N$  ครั้ง เช่น กรณีมีจำนวนจุดข้อมูลเวลา  $N=1,024$  จุด ถ้าใช้การแปลงแบบ DFT จะต้องทำการคูณเชิงซ้อน 1,048,576 ครั้ง ในขณะที่การแปลงแบบ FFT จะเหลือเพียง 10,240 ครั้ง ซึ่งจะเห็นได้ว่าการแปลงแบบ FFT สามารถทำได้เร็วกว่า DFT มากกว่า 100 เท่าตัว

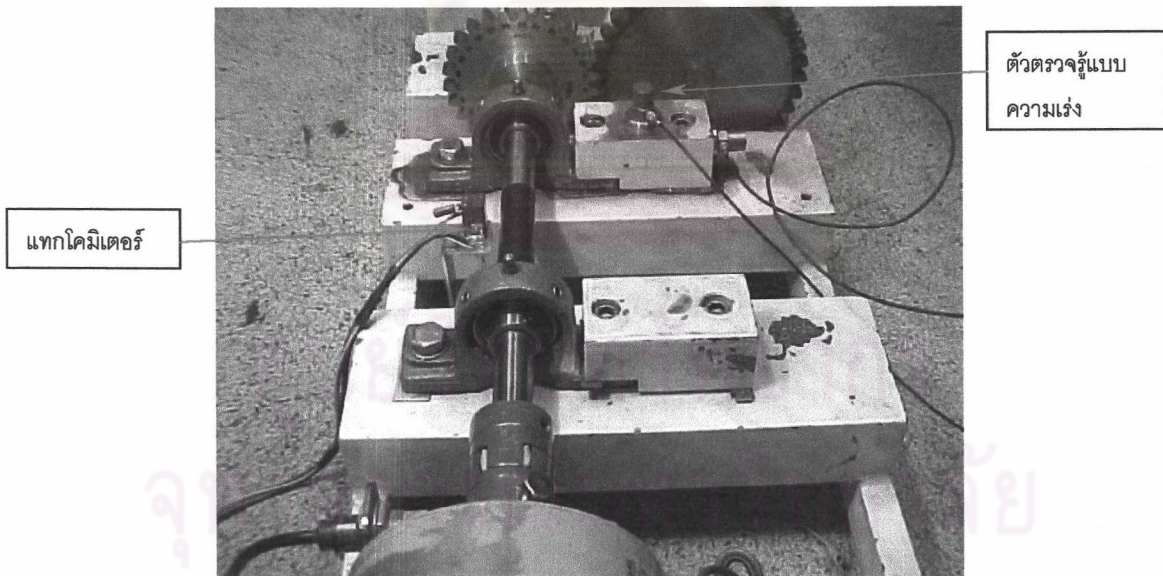
ศูนย์วิทยทรัพยากร  
จุฬาลงกรณ์มหาวิทยาลัย



ภาคผนวก ข  
อุปกรณ์การทดลอง



รูปที่ ข-1 ภาพถ่ายชุดอุปกรณ์ทดลองการสั่งสะท้อนของชุดเฟือง

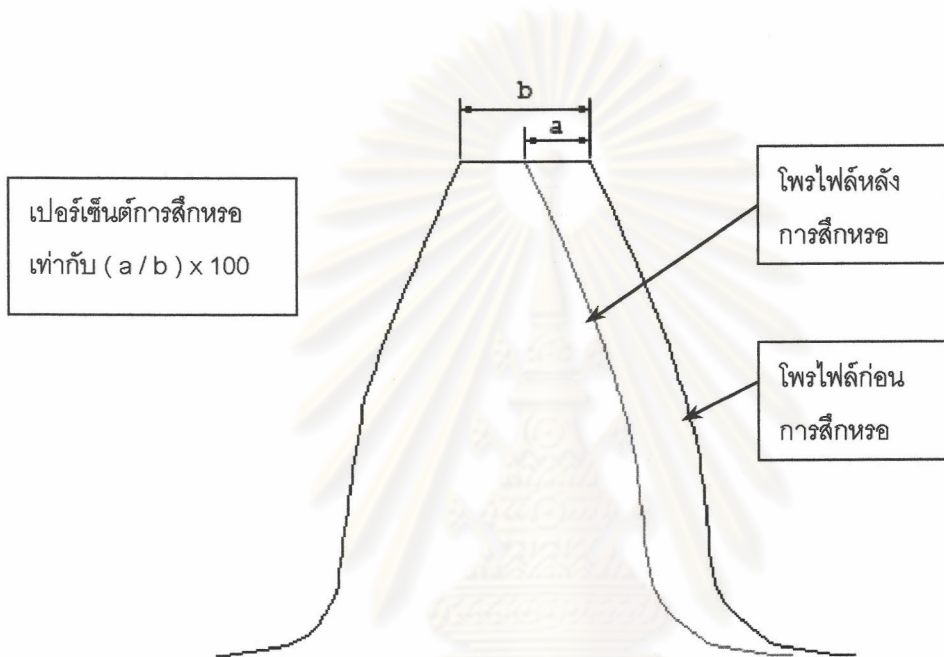


รูปที่ ข-2 ภาพถ่ายการติดตั้งตัวตรวจวัดแบบความเร่งและแทกโคมิเตอร์

## ภาคผนวก ค

### การสีกหรือของพื้นเพ็อง

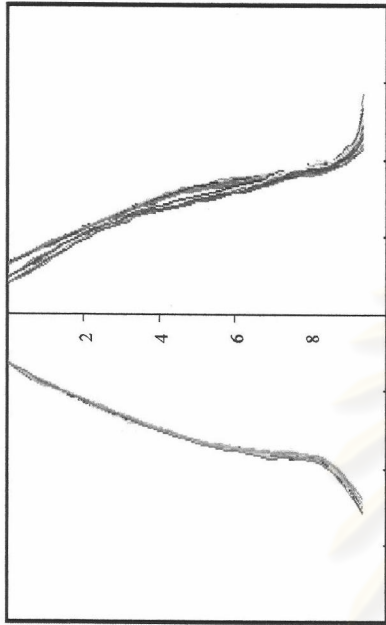
การคำนวณระยะสีกหรือที่ปลายพื้นคำนวณจากระยะปลายพื้นที่สีกหรือต่อระยะที่ปลายพื้น  
ปกติ แสดงดังรูปที่ ค-1



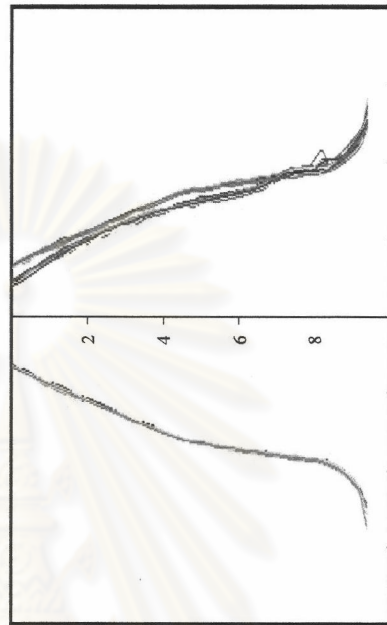
รูปที่ ค-1 การคำนวณการสีกหรือที่ปลายพื้น

การกระจายตัวของการสีกหรือในแต่ละพื้นของเพ็องขับเมื่อพื้นเพ็องมีการสีกหรือจะมากขึ้นตามระดับสีกหรือโดยการกระจายตัวของโพรไฟล์แสดงดังรูปที่ ค-2 ซึ่งพล็อตระหว่างพื้นเพ็องที่ไม่มี การสีกหรือกับพื้นเพ็องที่มีการสีกหรือไปแล้วที่ระดับต่างๆ ทั้ง 26 พื้น

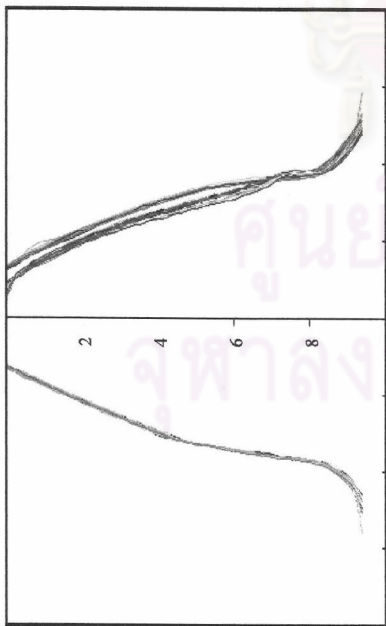
จุฬาลงกรณ์มหาวิทยาลัย



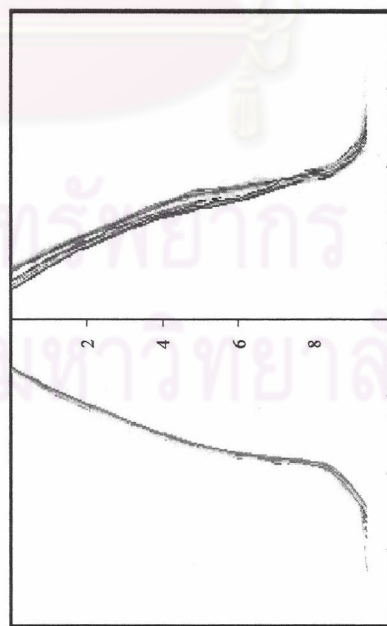
การทดลองที่สภาวะ 500 RPM 340 W



การทดลองที่สภาวะ 800 RPM 340 W

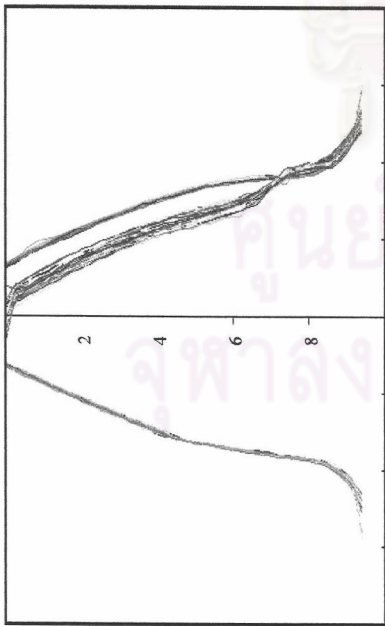


การทดลองที่สภาวะ 500 RPM 200 W

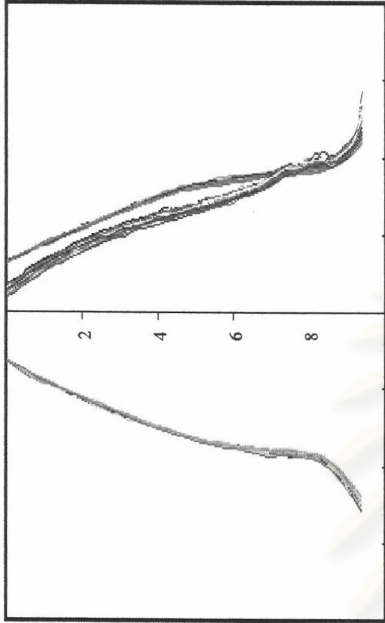


การทดลองที่สภาวะ 800 RPM 200 W

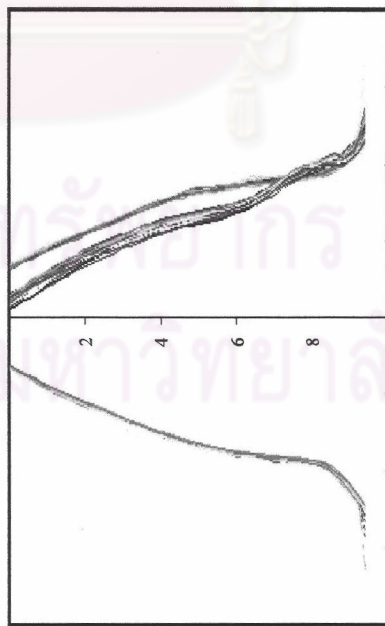
รูปที่ ค-2 ระดับสีกทหรอที่ 1 (mm)



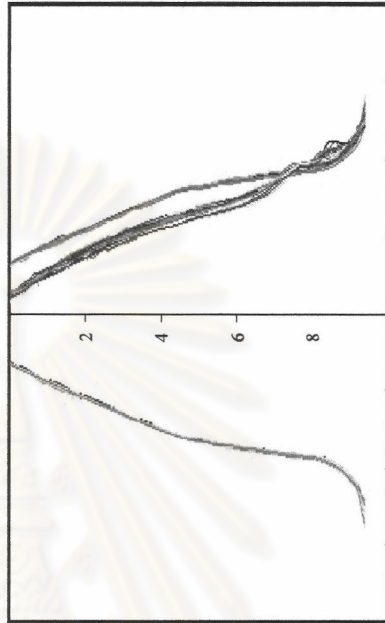
การทดลองที่สภาวะ 500 RPM 200 W



การทดลองที่สภาวะ 500 RPM 340 W



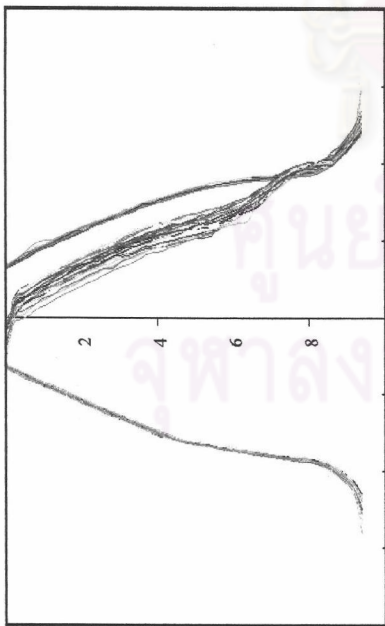
การทดลองที่สภาวะ 800 RPM 200 W



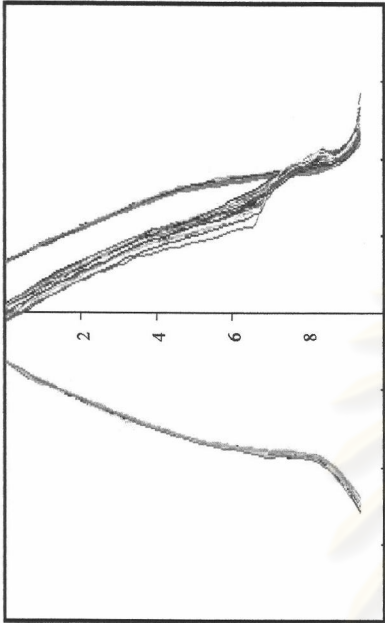
การทดลองที่สภาวะ 800 RPM 340 W

รูปที่ ค-3 ระดับสีกทอที่ 2 (mm)

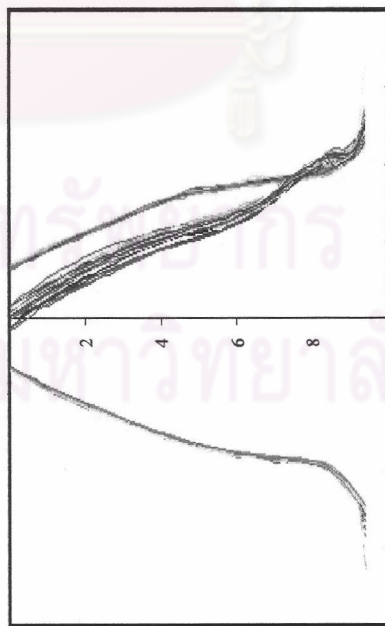




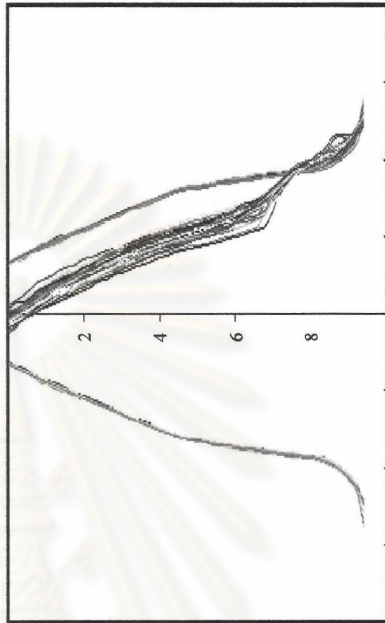
การทดลองที่สภาวะ 500 RPM 200 W



การทดลองที่สภาวะ 500 RPM 340 W



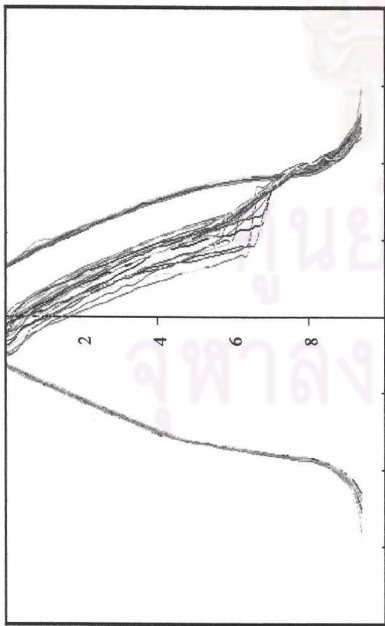
การทดลองที่สภาวะ 800 RPM 200 W



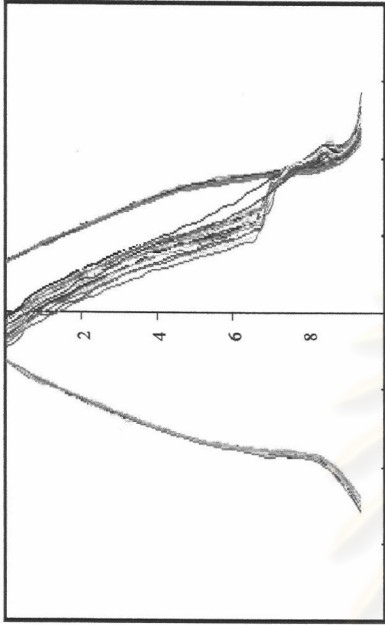
การทดลองที่สภาวะ 800 RPM 340 W

รูปที่ ค-4 ระดับสี่ทอรอที่ 3 (mm)

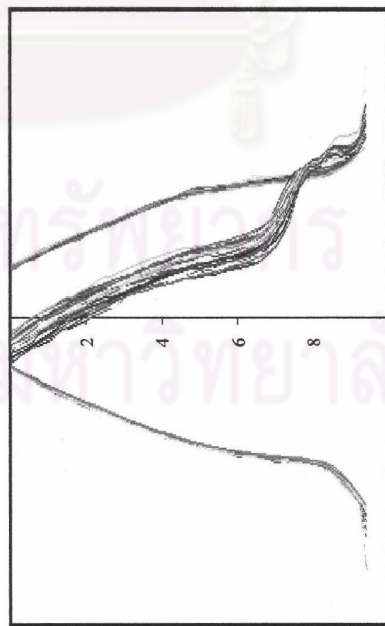




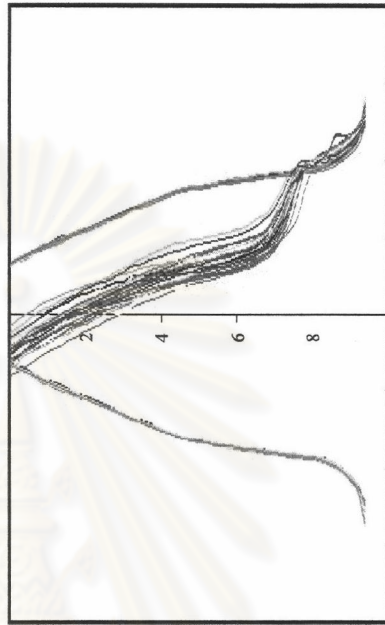
การทดลองที่สภาวะ 500 RPM 200 W



การทดลองที่สภาวะ 500 RPM 340 W

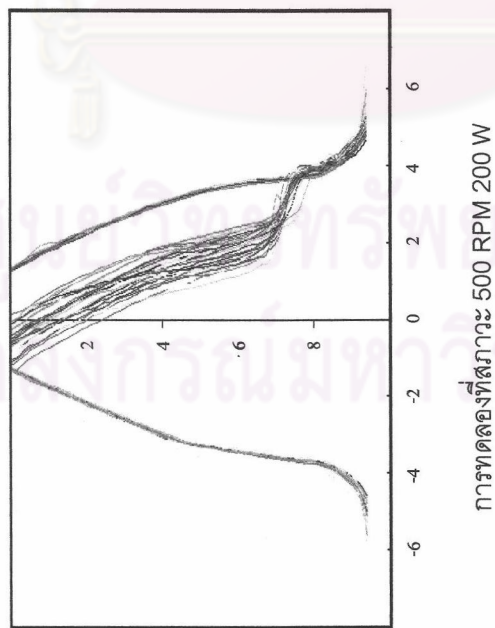
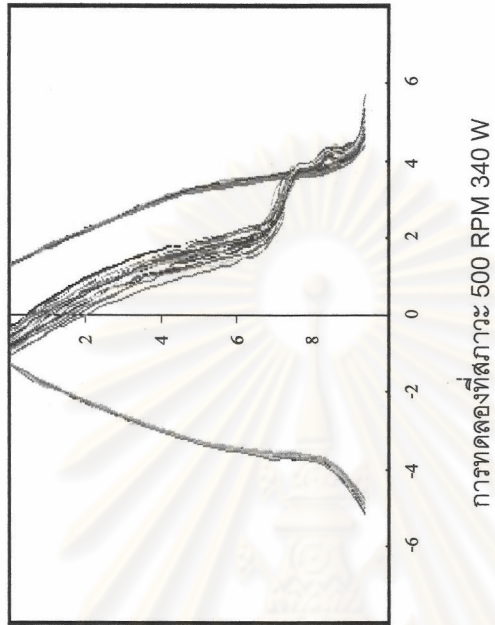


การทดลองที่สภาวะ 800 RPM 200 W



การทดลองที่สภาวะ 800 RPM 340 W

รูปที่ ค-5 ระดับสี่กหรอยที่ 4 (mm)



รูปที่ ค-6 ระดับสีกทอรี่ที่ 5 (mm)

ศูนย์วิจัยทรัพยากร  
จุฬาลงกรณ์มหาวิทยาลัย

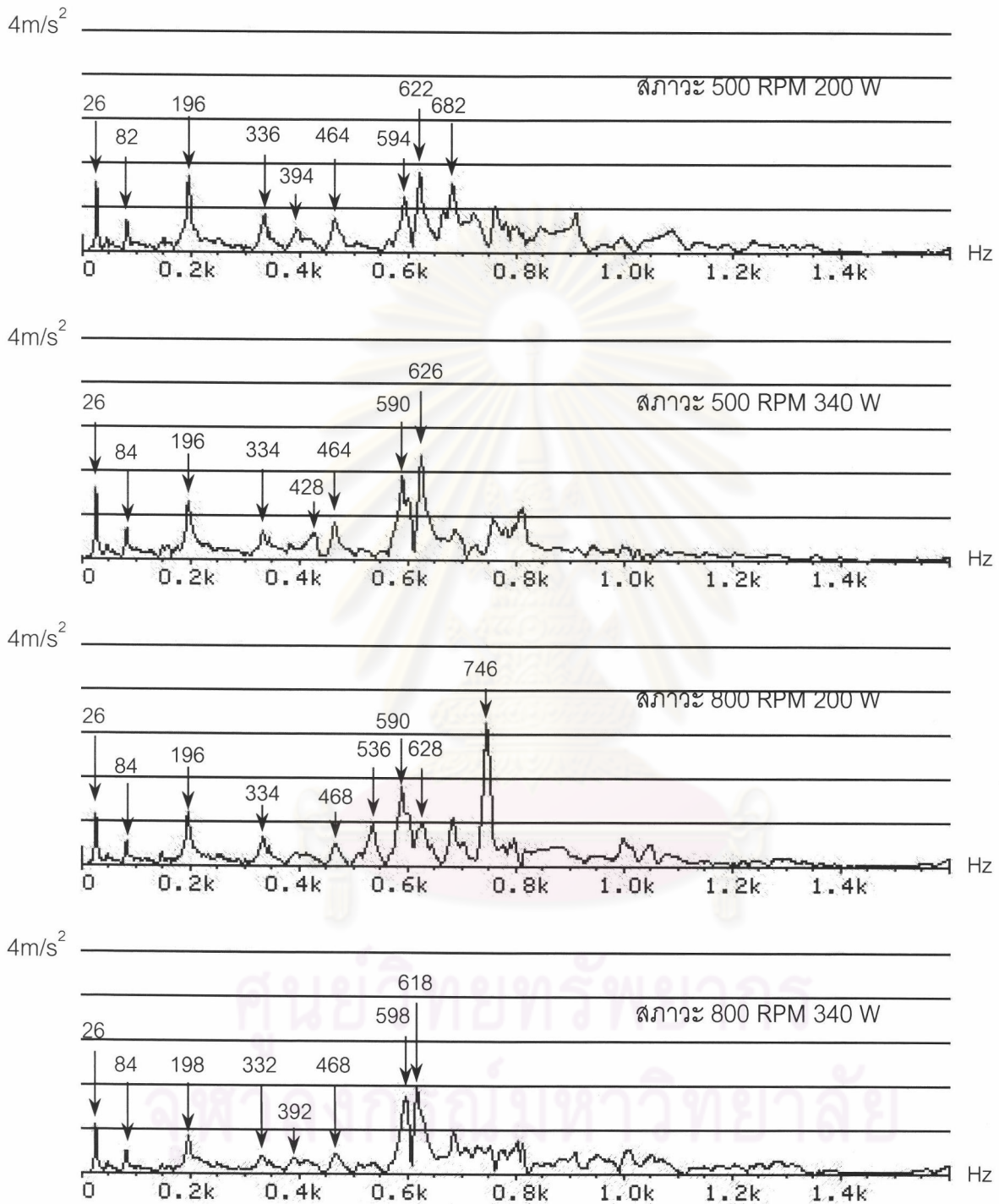
## ภาคผนวก ง ความถี่ธรรมชาติ

ความถี่ธรรมชาติของชุดทดสอบใช้เป็นข้อมูลช่วยในการวิเคราะห์สัญญาณบนโดเมนความถี่แสดงในรูปที่ ง-1, ง-2 วัดเมื่อติดตั้งเฟืองเข้าไปในชุดทดสอบก่อนเริ่มทดลอง วิธีเก็บสัญญาณทำโดยใช้ท่อไม้ทาบลงไปบนแท่นของชุดทดสอบเพื่อเป็นการกระตุ้นการสั่นสะเทือนของชุดทดสอบในทุกความถี่

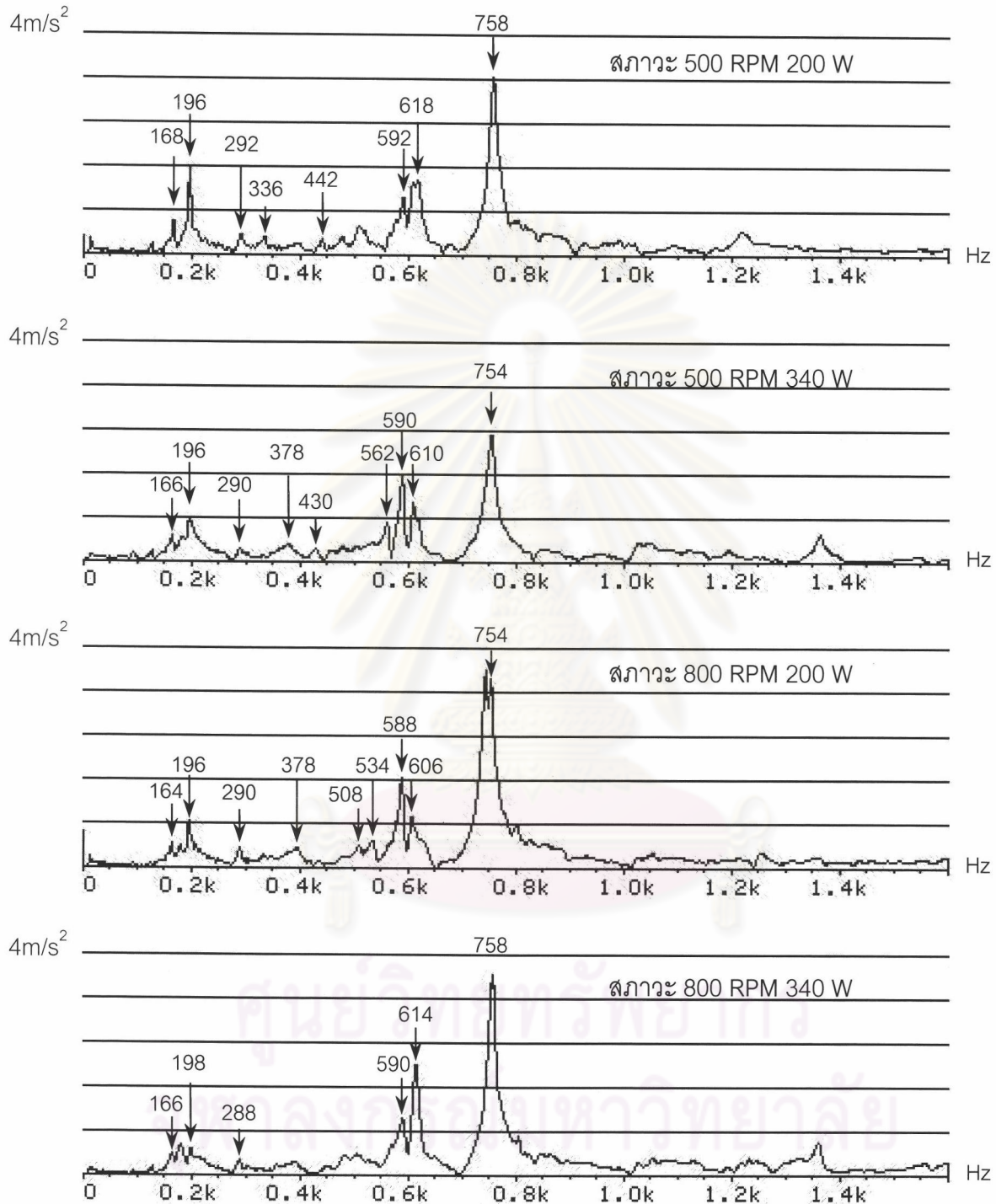
การเก็บสัญญาณจะเก็บทันทีที่ท่อไม้กระทบกับแท่นของชุดทดสอบ การเก็บสัญญาณเก็บ 1 ชุดสัญญาณไม่มีการเฉลี่ย ใช้ฟังก์ชันแฮนนิ่ง (Hanning) เป็นฟังก์ชันถ่วงน้ำหนัก ใช้ตัวกรองความถี่ต่ำที่ 0.7 Hz ตัวกรองความถี่สูงใช้ตามพิสัยของโดเมนความถี่คือ 800 Hz สำหรับความเร็ว 500 รอบต่อนาที และ 1.6 kHz สำหรับความเร็ว 800 รอบต่อนาที ส่วนค่าแอมพลิจูดสูงสุดคือ  $4\text{m/s}^2$



ศูนย์วิทยทรัพยากร  
จุฬาลงกรณ์มหาวิทยาลัย



รูปที่ ง-1 สัญญาณสเปกตรัมความถี่ธรรมชาติของชุดทดลองที่วัดในแนวดิ่ง



รูปที่ ง-2 สัญญาณสเปกตรัมความถี่ธรรมชาติของชุดทดลองที่วัดในแนวระดับ



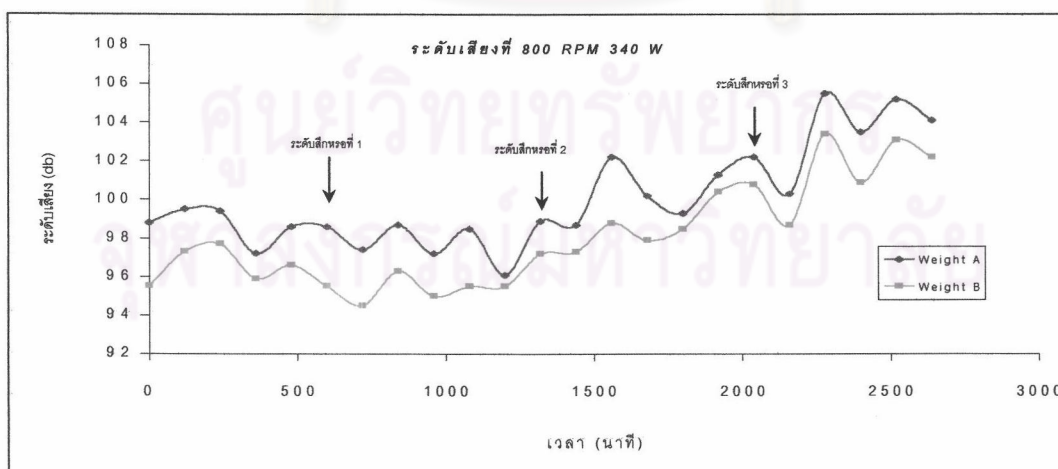
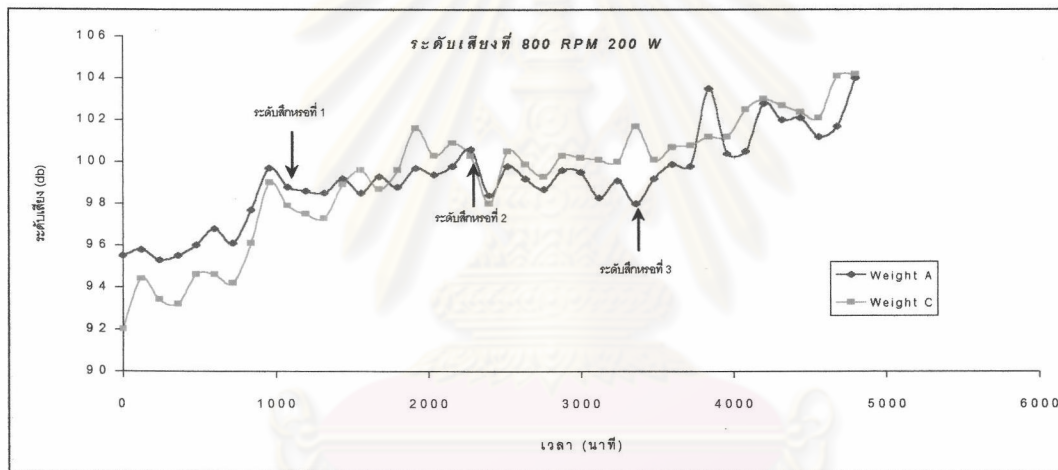
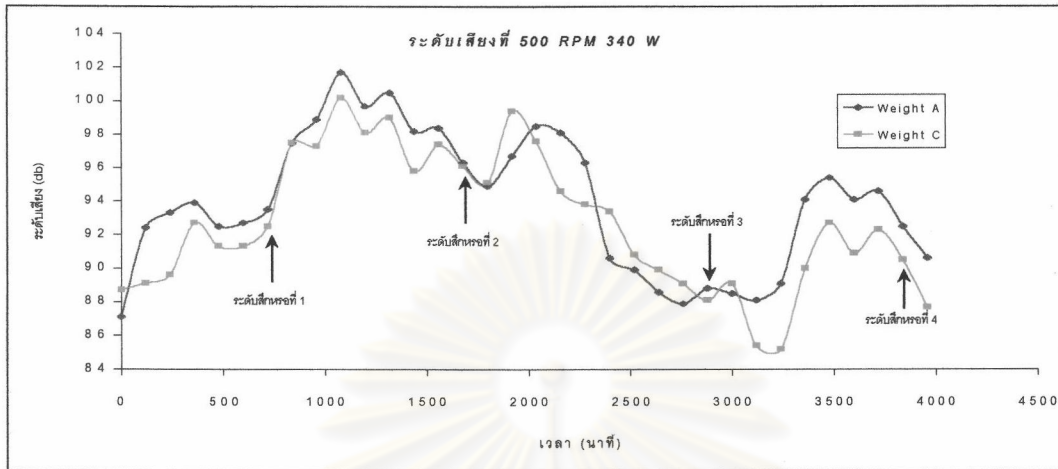
## ภาคผนวก จ

### ระดับเสียง

จากการสังเกตในระหว่างทำการทดลองที่สภาวะ 500 RPM 200 W พบว่าเสียงที่เกิดขึ้นจากการทดลองมีการแปรเปลี่ยนไปเมื่อเพื่อเกิดการสึกหรอ ดังนั้นการวัดระดับเสียงไปด้วยกันกับสัญญาณการสั่นสะเทือนในระหว่างทำการทดลองจึงน่าจะเป็นประโยชน์ต่อการวิเคราะห์สัญญาณ การวิจัยจึงจัดซื้อเครื่องวัดระดับเสียงยี่ห้อ DIGICON รุ่น DS-40 เพื่อทำการวัดระดับเสียงไปด้วยกันในการทดลองที่สภาวะอื่นๆ โดยระดับเสียงที่เกิดจากการทดลองจากทั้ง 3 สภาวะ แสดงไว้ดังรูปที่ จ-1 โดยทำการวัดระดับเสียงทุกครั้งหลังจากการเก็บสัญญาณการสั่นสะเทือนก่อนที่จะหยุดเดินเครื่องชุดทดลองเพื่อถ่ายภาพการสึกหรอการสึกหรอของฟันเฟือง ทำการวัดโดยนำไมโครโฟนไปไว้บริเวณใกล้กับจุดที่เฟืองชนกัน วัดโดยใช้วงจร Weighting ทั้งแบบ A และ C ซึ่งแนวโน้มของระดับเสียงมีลักษณะคล้ายๆ กับแนวโน้มของสัญญาณการสั่นสะเทือนบนโดเมนของเวลา



ศูนย์วิทยทรัพยากร  
จุฬาลงกรณ์มหาวิทยาลัย



รูปที่ จ-1 ระดับเสียงที่วัดขณะทำการทดลอง

## ประวัติผู้เขียนวิทยานิพนธ์

|                 |   |
|-----------------|---|
| ชื่อ            | นายเจษฎา เตชัสหงส์  |
| เกิดวันที่      | 7 พฤษภาคม พ.ศ. 2521 ที่กรุงเทพมหานคร  |
| ประวัติการศึกษา | <ul style="list-style-type: none"> <li>- ศึกษาในระดับมัธยมศึกษาตอนต้นและมัธยมศึกษาตอนปลาย ที่โรงเรียนเทพศิรินทร์ ในระหว่างปีการศึกษา 2533 - 2538</li> <li>- สำเร็จการศึกษาในระดับปริญญาวิศวกรรมศาสตรบัณฑิต สาขาวิศวกรรมเครื่องกล ภาควิชาวิศวกรรมเครื่องกล มหาวิทยาลัยเกษตรศาสตร์ ในปีการศึกษา 2542</li> <li>- เข้าศึกษาต่อในระดับปริญญาวิศวกรรมศาสตรมหาบัณฑิต สาขาวิศวกรรมเครื่องกล ภาควิชาวิศวกรรมเครื่องกล จุฬาลงกรณ์มหาวิทยาลัย ในปีการศึกษา 2543</li> </ul> |


  
 ศูนย์วิทยทรัพยากร  
 จุฬาลงกรณ์มหาวิทยาลัย